

สารบัญ

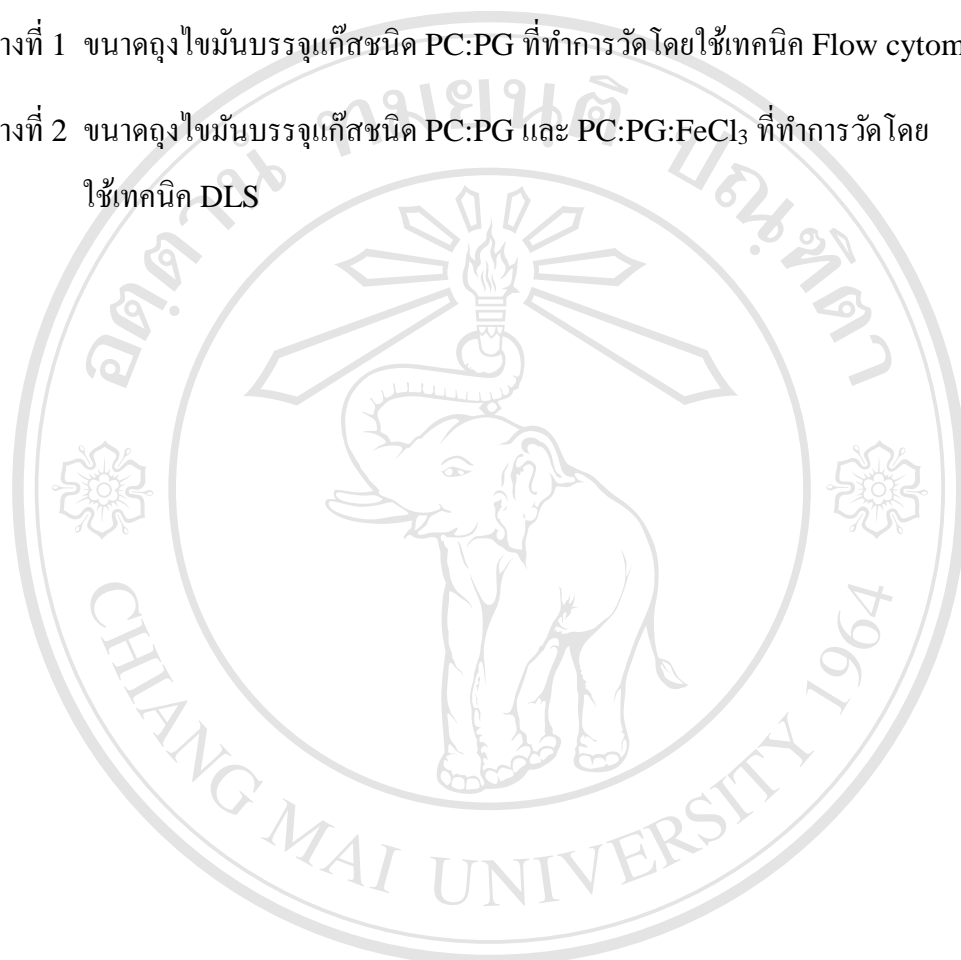
	หน้า
กิตติกรรมประกาศ	ก
บทคัดย่อภาษาไทย	ง
ABSTRACT	จ
สารบัญตาราง	ช
สารบัญภาพ	ฌ
รายการอักษรย่อ	ฎ
รายการสัญลักษณ์	ฏ
บทที่ 1 บทนำ	1
บทที่ 2 ทฤษฎีที่เกี่ยวข้อง	5
2.1 ทฤษฎีการสร้างภาพด้วยอัลตราซาวด์	5
2.2 ผลของอัลตราซาวด์ต่อเซลล์ร่างกาย	7
2.3 สารเปรียบเทียบสำหรับการตรวจอัลตราซาวด์	8
2.4 ฟอสโฟไลปิดกับการสังเคราะห์ถุงไขมัน	9
2.5 สารติดตามการเรืองแสง (fluorescence probe) กับการวัดเสถียรภาพของถุงไขมัน	11
2.6 หลักการวัดขนาดของถุงไขมัน	11
2.6.1 Flowcytometry	11
2.6.2 Dynamic Light Scattering (DLS)	12
บทที่ 3 วิธีการดำเนินงานวิจัย	14
3.1 การสังเคราะห์ถุงไขมัน	14

3.1.1	การทำแผ่นฟิล์มบาง	14
3.1.2	การสร้างถุงไขมันบรรจุแก๊สด้วยเทคนิค Freeze thaw	15
3.1.3	การทำให้ขนาดถุงไขมันใกล้เคียงกัน (homogeneous) ด้วยเทคนิค Sonicate	16
3.2	การตรวจสอบคุณสมบัติทางฟิสิกส์ของถุงไขมันบรรจุแก๊ส	16
3.2.1	การวัดขนาดด้วยเทคนิค Flow cytometry	16
3.2.2	การวัดขนาดด้วยเทคนิค Dynamic Light Scattering (DLS)	16
3.3	การพิสูจน์เอกลักษณ์ของไขมันบรรจุแก๊ส	17
3.3.1	การตรวจสอบการเป็นถุงไขมัน และความเสถียรของไขมัน ด้วยเทคนิค Spectrofluorometry	17
3.3.2	การตรวจสอบการเป็นถุงไขมันด้วยเทคนิค Spectrophotometry	18
3.4	การทดสอบความเป็นพิษต่อเซลล์	19
3.5	การทำแอนติกริยาของถุงไขมันบรรจุแก๊สต่อเซลล์มะเร็ง	20
3.6	การสร้างภาพถุงไขมันบรรจุแก๊ส	20
3.7	การตรวจสอบผลของคลื่นเสียงความถี่สูงต่อถุงไขมันบรรจุแก๊ส	21
บทที่ 4	ผลการศึกษาและวิจารณ์ผลการศึกษา	22
4.1	คุณสมบัติทางฟิสิกส์ และเอกลักษณ์ของถุงไขมันบรรจุแก๊ส	22
4.2	ความเป็นพิษต่อเซลล์	27
4.3	การทำแอนติกริยาของถุงไขมันบรรจุแก๊สต่อเซลล์มะเร็ง	28
4.4	การสร้างภาพถุงไขมันบรรจุแก๊ส	29
4.5	การตรวจสอบผลของคลื่นเสียงความถี่สูงต่อถุงไขมันบรรจุแก๊ส	30
บทที่ 5	บทสรุป	35
	เอกสารอ้างอิง	36
	ภาคผนวก	39
	ประวัติผู้เขียน	44

สารบัญตาราง

หน้า

ตารางที่ 1 ขนาดถุงไขมันบรรจุแก๊สชนิด PC:PG ที่ทำการวัดโดยใช้เทคนิค Flow cytometry	23
ตารางที่ 2 ขนาดถุงไขมันบรรจุแก๊สชนิด PC:PG และ PC:PG:FeCl ₃ ที่ทำการวัดโดยใช้เทคนิค DLS	26



ลิขสิทธิ์มหาวิทยาลัยเชียงใหม่
Copyright © by Chiang Mai University
All rights reserved

สารบัญภาพ

	หน้า
ภาพที่ 1 แสดงการปรับปรุงผิวถุงไขมันด้วย PEGylated และสารลดแรงตึงผิว	3
ภาพที่ 2 แสดงการปรับปรุงผิวถุงไขมันด้วย Polyoxyethylene 40 stearate [PEG40s]	3
ภาพที่ 3 แสดงอันตรกิริยาของคลื่นเสียงความถี่สูง กับเนื้อเยื่อ	6
ภาพที่ 4 แผนผังการเกิดปรากฏการณ์ควาเวชัน (cavitation)	7
ภาพที่ 5 ถุงไขมันมีการเรียงตัวฟอสโฟไลปิด 2 ชั้น โดยหันด้านไม่มีขั้ว (hydrophobic) เข้าหากัน และหันด้านมีขั้ว (hydrophilic) ออกจากกัน	9
ภาพที่ 6 โครงสร้างทางเคมีของฟอสโฟไลปิด (Phospholipids)	10
ภาพที่ 7 ส่วนประกอบ และการทำงานของเครื่อง flowcytometer	12
ภาพที่ 8 ผลกระทบลักษณะการแพร่เคลื่อนตำแหน่งของอนุภาคที่มีขนาดไม่เท่ากัน ต่อความถี่ในการกระเพื่อมขึ้น-ลงของแสง	13
ภาพที่ 9 โครงสร้างเคมีของ Phosphatidylcholine, PC (บน) และ 1,2- Dipalmitoyl-sn-glyero-3-phospho-rac-(1-glycerol), PG (ล่าง)	14
ภาพที่ 10 กราฟการกระตุ้น (excitation spectrum) และการเรืองแสง (emission spectrum) ของ DPH เมื่อเข้าไปแทรกส่วนไม่มีขั้วของฟอสโฟไลปิดบนผิวถุงไขมันชนิด PC:PG ในตัวทำละลาย Tris-HCl pH=7.4	17
ภาพที่ 11 การเรืองแสงของถุงไขมันบรรจุแก๊สชนิด PC:PG ในตัวทำละลาย Tris-HCl pH=7.4 เมื่อเติมสารเรืองแสง DPH และผลต่างของค่าการเรืองแสง Fluorescence intensity, F_0	18
ภาพที่ 12 ภาพแสดงหุ่นจำลองเพื่อใช้สร้างภาพอัลตราซาวด์	20

ภาพที่ 13	กราฟความสัมพันธ์ระหว่างขนาดอนุภาคที่ทราบขนาดกับค่าการกระเจิงของแสง	22
ภาพที่ 14	ค่าเปอร์เซ็นต์การเรืองแสงของ DPH ที่แทรกระหว่างชั้นไขมันของถุงไขมันบรรจุแก๊สชนิด PC:PG(1:1) (○), (5:1) (△) และ (10:1) (□)	23
ภาพที่ 15	การดูคลื่นแสงของสารละลายเฟอริกคลอไรด์ก่อน และหลังการสังเคราะห์ถุงไขมัน	25
ภาพที่ 16	การดูคลื่นแสงของถุงไขมันชนิด PC:PG และ PC:PG:FeCl ₃	25
ภาพที่ 17	แบบจำลองถุงไขมันบรรจุแก๊สที่สังเคราะห์ขึ้น (PC:PG=1:1, PC:PG:FeCl ₃ =1:1:1)	27
ภาพที่ 18	ค่าเปอร์เซ็นต์ Fluorescence intensity ของ DPH ที่แทรกระหว่างชั้นไขมันของถุงไขมันบรรจุแก๊สชนิด PC:PG(1:1) (○) และ PC:PG:FeCl ₃ (1:1:1) (●)	27
ภาพที่ 19	กราฟความสัมพันธ์ระหว่าง ความเข้มข้นของถุงไขมันบรรจุแก๊สกับ % IC ของเซลล์ GLC4 (A) และ GLC4/Adr (B)	28
ภาพที่ 20	ภาพ bright-light และภาพ fluorescence (20x) ของเซลล์ GLC4 หลังการเติมถุงไขมันบรรจุแก๊สที่เวลา 5 (A), 10 (B), 20 (C)Min. และการหาพื้นที่ใต้กราฟของค่าความเข้ม fluorescence (D) และพื้นที่ใต้กราฟของค่าความเข้ม fluorescence ที่เวลาต่างๆ หลังการเติมถุงไขมันบรรจุแก๊ส (E)	29
ภาพที่ 21	ภาพอัลตราซาวด์ของหุ่นจำลองที่สร้างจาก agarose gel: รูป A และ B แสดงภาพตัดขวาง โดยรูป A ช่องที่ 2, 3 เป็นน้ำ และรูป B ช่องที่ 2 เป็นถุงไขมันบรรจุแก๊สรูป C และ D แสดงภาพแนวยาว โดยรูป C ช่อง 3 เป็นน้ำ และรูป D ช่อง 2 เป็นถุงไขมันบรรจุแก๊ส	30
ภาพที่ 22	ผลของคลื่นเสียงความถี่สูงที่ 0.8 MHz (A), 2.4 MHz (B), 8.0 MHz (C) และ 12.0 MHz (D) ต่อการเปลี่ยนแปลงค่าเปอร์เซ็นต์ fluorescence intensity ของ DPH ที่เรืองแสง เนื่องจากการเข้าไปแทรกระหว่างผิวของถุงไขมันชนิด PC:PG(1:1) และ PC:PG:FeCl ₃ (1:1:1)	31
ภาพที่ 23	ผลของคลื่นเสียงความถี่สูงที่ 0.8, 2.4, 8.0 และ 12.0 MHz ต่อตัวอย่างถุงไขมันชนิด PC:PG(1:1) และ PC:PG:FeCl ₃ (1:1:1)	31
ภาพที่ 24	ค่า fluorescence intensity ที่ 427 nm ของ DPH เมื่อแทรกอยู่บนผิวของถุงไขมันบรรจุแก๊สต่อเวลา โดยที่เส้นประคือค่าความชันของค่า fluorescence intensity ต่อเวลา	32

ภาพที่ 25 ผลของคลื่นเสียงความถี่สูงที่ 0.8 MHz (A), 2.4 MHz (B), 8.0 MHz (C) และ 12.0 MHz(D) ต่อการเปลี่ยนแปลงค่าเปอร์เซ็นต์ความชื้นที่ลดลงของการเรียงแสงของ DPH เนื่องจากเกิดการถ่ายเทพลังงานไปยังผิวของถุงไขมัน ชนิด PC:PG (1:1) และ PC:PG:FeCl₃(1:1:1) 34

ภาพที่ 26 ผลของคลื่นเสียงความถี่สูงที่ 0.8 2.4 8.0 และ 12.0 MHz ต่อการเปลี่ยนแปลงค่าเปอร์เซ็นต์ความชื้นที่ลดลงของการเรียงแสงของ DPH เนื่องจากเกิดการถ่ายเทพลังงานไปยังผิวของถุงไขมัน ชนิด PC:PG (1:1) (A) และ PC:PG:FeCl₃(1:1:1) (B) 34



ลิขสิทธิ์มหาวิทยาลัยเชียงใหม่
Copyright© by Chiang Mai University
All rights reserved

รายการอักษรย่อ

Cells/mL	จำนวนเซลล์ต่อมิลลิลิตร
cm	เซนติเมตร
CO ₂	แก๊สคาร์บอนไดออกไซด์
°C	องศาเซลเซียส
Days	วัน
DLS	Dynamic Light Scattering
DPH	1,6-diphenyl-1-3,5-hexatriene
FeCl ₃	เฟอริกคลอไรด์
g/cm ³	กรัมต่อลูกบาศก์เซนติเมตร
GLC4	เซลล์มะเร็งปอดชนิดเซลล์เล็กที่ไวต่อยา Doxorubicin
GLC4/Adr	เซลล์มะเร็งปอดชนิดเซลล์เล็กที่ดื้อต่อยา Doxorubicin
Hrs.	ชั่วโมง
J/K	จูลต่อเคลวิน
K	เคลวิน
kHz	กิโลเฮิรตซ์
LUV	Large unilamellar vesicles
mbar	มิลลิบาร์
MHz	เมกกะเฮิรตซ์
Min.	นาที
mL	มิลลิลิตร
MLV	Multilamellar vesicles
mM	มิลลิโมลาร์
MPa	เมกกะปาสคาล
m/s	เมตรต่อวินาที
mV	มิลลิโวลต์
nm	นาโนเมตร

Pa·s	ปาสคาล วินาที
PBS	Phosphate Buffer Saline
PC	Phosphatidylcholine
PEG40s	Polyoxyethylene 40 stearate
PFC	Perfluorocarbon gas
PG	1,2-Dipalmitoyl-sn-glycero-3 phospho-rac-(1-glycerol)
PLGA	Poly(lactide-co-glycolide)
rpm	รอบต่อนาที
RPMI-1640	อาหารเลี้ยงเซลล์
SUV	Small unilamellar vesicles
T _m	Transition temperature
Tris-HCl	สารละลายบัฟเฟอร์ Tris-HCl pH 7.4
USCAs	Ultrasound Contrast Agents
v/v	ปริมาตรต่อปริมาตร
w	วัตต์
Z	Acoustic Impedance
%C	เปอร์เซ็นต์การตายของเซลล์
μL	ไมโครลิตร
μm	ไมโครเมตร
μM	ไมโครโมลาร์

ลิขสิทธิ์มหาวิทยาลัยเชียงใหม่
 Copyright© by Chiang Mai University
 All rights reserved

รายการสัญลักษณ์

θ_r	มุมตกกระทบ
θ_t	มุมสะท้อน
θ_c	มุมหักเหเข้าสู่ตัวกลาง
ρ	ความหนาแน่นเฉลี่ยของตัวกลาง



ลิขสิทธิ์มหาวิทยาลัยเชียงใหม่
Copyright© by Chiang Mai University
All rights reserved